

# ORIGINAL ARTICLE

## ***Morphological and Molecular (28s rDNA) Characterization of Dicrocoelium dendriticum Isolates from Sheep, Goat and Cattle in Mazandaran Province, Iran***

Simin Bari<sup>1</sup>,  
Mohsen Arbabi<sup>2</sup>,  
Pooria Gill<sup>3</sup>,  
Mehdi Sharif<sup>4</sup>,  
Hajar Ziae Hezarjaribi<sup>5</sup>,  
Samira Dodangeh<sup>6</sup>,  
Abbas Alizadeh<sup>7</sup>,  
Zeinab Hedayati<sup>1</sup>,  
Shahabeddin Sarvi<sup>5</sup>

<sup>1</sup> MSc in Parasitology, Toxoplasmosis Research Center, Mazandaran University of Medical Sciences, Sari, Iran

<sup>2</sup> Associate Professor, Department of Parasitology, Kashan University of Medical Sciences, Kashan, Iran

<sup>3</sup> Departments of PhysioPharmacology & NanoBioMedicine, Mazandaran University of Medical Sciences, Sari, Iran

<sup>4</sup> Professor, Toxoplasmosis Research Center, Mazandaran University of Medical Sciences, Sari, Iran

<sup>5</sup> Associate Professor, Toxoplasmosis Research Center, Mazandaran University of Medical Sciences, Sari, Iran

<sup>6</sup> PhD Student in Medical Parasitology, Student Research Committee, Mazandaran University of Medical Sciences, Sari, Iran

<sup>7</sup> PhD in Veterinary Physiology, Mazandaran Provincial Veterinary Service, Sari, Iran

(Received December 24, 2017 ; Accepted February 12, 2018)

### **Abstract**

**Background and purpose:** Dicrocoeliasis is a prevalent parasite in ruminants caused by different species of *Dicrocoelium* spp. This parasite lives in bile duct and gallbladder of ruminants and accidentally in human. The economic significance of dicroceliasis is due to direct damage to the liver and, consequently, to the loss of significant amounts of protein. The present study aimed to investigate the morphometric and molecular (PCR and PCR-RFLP) parameters of *Dicrocoelium* species isolates from sheep, goat, and cattle in Mazandaran province, Iran during 2013-2015.

**Materials and methods:** In this descriptive study, 50 trematodes isolated from livers of sheep (n= 20), goat (n= 20), and cattle (n= 10) were collected form abattoirs in Mazandaran province. Adult worms were studied by morphometric and molecular methods on 28s rDNA. The RFLP technique was used to identify the genus. Some samples were also sequenced.

**Results:** All isolates of three hosts (sheep, goat, and cattle) showed significant differences in many morphological parameters. According to characterization of testicles that is a remarkable characteristic for differential diagnosis of *Dicrocoelium* species, they were in tandem position in all isolates. Moreover, no significant difference was observed in their size in different hosts. Four bands, including 116, 145, 393, and 409 bp were produced from PCR method after treatment by enzyme. In molecular technique, there were no any significant differences but in morphometric analysis, some differences were found.

**Conclusion:** The molecular and morphometric results indicated that *D. dendriticum* is the only species infecting sheep, goat, and cattle in Mazandaran province.

**Keywords:** *Dicrocoelium*, morphology, 28s rDNA, PCR-RFLP

J Mazandaran Univ Med Sci 2018; 28(159): 38-45 (Persian).

## بررسی خصوصیات مورفولوژیکی و مولکولی (28s rDNA) دیکروسلیوم دندریتیکوم جدا شده از گوسفند، بز و گاو در استان مازندران

سیمین باری<sup>۱</sup>  
محسن اربابی<sup>۲</sup>  
پوریا گیل<sup>۳</sup>  
مهند شریف<sup>۴</sup>  
هاجر ضیایی<sup>۵</sup>  
سیمیرا دودانگه<sup>۶</sup>  
عباس علیزاده<sup>۷</sup>  
زینب هدایتی<sup>۱</sup>  
شهاب الدین سروی<sup>۸</sup>

### چکیده

**سابقه و هدف:** دیکروسلیازیس بیماری شایع در نشخوار کنندگان است که توسط گونه‌های مختلف دیکروسلیوم ایجاد می‌شود. این انگل در مجاری صفوای و کیسه صفرای نشخوار کنندگان و به طور تصادفی انسان دیده می‌شود. اهمیت اقتصادی دیکروسلیازیس به علت خسارت به کبد و در نتیجه از دست دادن مقادیر قابل توجهی از مواد پروتئینی می‌باشد. بنابراین هدف از این مطالعه، بررسی پارامترهای مورفومتریک و مولکولی (PCR و PCR-RFLP) آیزوله‌های گوسفندی، بزی و گاوی دیکروسلیوم دندریتیکوم در سال‌های ۱۳۹۲-۱۳۹۴ می‌باشد.

**مواد و روش‌ها:** در این مطالعه توصیفی، در مجموع ۵۰ ایزوله ترماتود از کبدهای گوسفندی (۲۰ مورد)، بزی (۲۰ مورد) و گاوی (۱۰ مورد)، از کشتارگاه‌های مازندران جمع آوری شدند. کرم‌های بالغ با روش‌های مورفومتریک و مولکولی ناحیه 28s rDNA ۲۰ مورد بررسی قرار گرفتند. برای تشخیص گونه‌ی انگل از تکنیک PCR-RFLP استفاده شد. علاوه بر این، تعدادی از نمونه‌ها تعیین توالی شدند.

**یافته‌ها:** تمام ایزوله‌های سه میزبان (گوسفند، بز و گاو) در اغلب شاخه‌های مرفولوژیک با هم اختلاف معنی‌دار داشتند. در مورد شاخص بیضه‌های انگل، که شاخص قابل اعتمادی برای تشخیص افتراقی گونه‌های دیکروسلیوم می‌باشد، در تمام ایزوله‌ها، بیضه‌ها پشت سر هم قرار داشتند و اختلاف معنی‌داری در اندازه آن‌ها در بین میزبانان مختلف مشاهده نشد. در بررسی مولکولی چهار باند ۱۱۶ bp، ۱۴۵ bp، ۳۹۳ bp و ۴۰۹ bp از محصول PCR بعد از تماس با آنزیم مشاهده شد. در بررسی توالی ایزوله‌های انگل، اختلاف ژنتیکی چندانی دیده نشد، در حالی که در بررسی مورفومتریک، تفاوت‌هایی مشاهده شد.

**استنتاج:** بررسی های مولکولی و مورفومتریک نشان داد که دیکروسلیوم دندریتیکوم تنها گونه‌ی آلوده کننده‌ی گوسفند، بز و گاو در استان مازندران است.

**واژه‌های کلیدی:** دیکروسلیوم، مورفولوژی، 28s rDNA

### مقدمه

دیکروسلیوم دندریتیکوم ترماتودی است که انگل پستانداران اهلی و وحشی به خصوص نشخوار کنندگان می‌باشد و حتی انسان نیز ممکن است به طور تصادفی به این انگل مبتلا شود. این کرم، انگل مجاری صفوایی،

**مؤلف مسئول: شهاب الدین سروی**- ساری: مجتمع دانشگاهی یامیر اعظم- دانشکده پزشکی، گروه انگل شناسی و قارچ شناسی

۱. کارشناسی ارشد انگل شناسی، مرکز تحقیقات توکسیپلاسموز، دانشگاه علوم پزشکی مازندران، ساری، ایران

۲. دانشیار گروه انگل شناسی، دانشگاه علوم پزشکی کاشان، کاشان، ایران

۳. دانشیار گروه فیزیوفارماکولوژی و نانو بیوتکنولوژی، دانشگاه علوم پزشکی مازندران، ساری، ایران

۴. استاد، مرکز تحقیقات توکسیپلاسموز، دانشگاه علوم پزشکی مازندران، ساری، ایران

۵. دانشیار، مرکز تحقیقات توکسیپلاسموز، دانشگاه علوم پزشکی مازندران، ساری، ایران

۶. دانشجوی دکترای انگل شناسی پزشکی، کمیته تحقیقات دانشجویی، دانشگاه علوم پزشکی مازندران، ساری، ایران

۷. دکترای تخصصی فیزیولوژی دامپزشکی، اداره کل دامپزشکی استان مازندران، ساری، ایران

۸. دکترای تخصصی فیزیولوژی دامپزشکی، اداره کل دامپزشکی استان مازندران، ساری، ایران

E-mail: shahabesravi@yahoo.com

۱۳۹۶/۱۱/۲۳ تاریخ تصویب: ۱۳۹۶/۱۱/۲۳ تاریخ دریافت: ۱۳۹۶/۱۰/۳

## مواد و روش ها

### جمع آوری انگل دیکروسلیوم

در این مطالعه که از نوع توصیفی می باشد، با مراجعه به کشтарگاه های استان مازندران، تعداد ۵۰ کبد (۲۰ نمونه گوسفند، ۲۰ بز و ۱۰ گاو) آلوده به دیکروسلیوم از استان مازندران جمع آوری شد. کبد های آلوده به آزمایشگاه دانشگاه علوم پزشکی مازندران منتقال یافت و سپس با استفاده از قیچی جراحی و یستوری، تمامی معجّری کبدی باز گردید و با سرم فیزیولوژی شسته شدند.

### بررسی مورفومتریک و استخراج DNA

در این مرحله با استفاده از میکروسکوپ نوری، ۱۷ پارامتر مرفولوژیک مختلف از جمله اندازه بدن (طول و عرض)، نسبت طول به عرض، قطر بادکش شکمی (داخلی و خارجی)، قطر بادکش دهانی (داخلی و شکمی)، نسبت اندازه بادکش شکمی به بادکش دهانی، طول و عرض ییشه ها، طول غدد ویتلوزن، نسبت طول بدن به غدد ویتلوزن، فاصله بین بادکش شکمی تا انتهای بدن، طول ییشه سیر، طول و عرض تخدمان و فاصله بین بادکش دهانی و شکمی بر حسب میکرون اندازه گیری شدند. در مرحله بعد، جهت آماده سازی برای آزمایشات مولکولی، انگل ها با استفاده از روش فنل کلروفرم استخراج شدند.

انجام واکنش PCR و تعیین توالی ژن 28s rDNA تکثیر قطعات 28s rDNA با استفاده از مخلوط PCR به حجم ۱۱۱ ۲۵ شامل ۱۱۱ ۴ انگل، Master Mix به میزان ۷/۵ ۱۲/۵ ۱۱۱ ۰/۵ از هر آغاز گرفت و برگشت و ۱۱۱ ۷/۵ آب مقطر تزریقی انجام شد. قطعه باز 28s rDNA به اندازه ۹۶۳bp (Gen Bank accession no: AF151939.1) و Dd28SF و با استفاده از پرایمر های ۳' (5'-GTGGCCAGTGGTCATTAGG- ۳') و Dd28SR (5'-ACCTCAGTCTGGACAAGCCA- ۳')

کبد و کیسه صفراء است<sup>(۱)</sup>. میزان اصلی آن، گوسفندها، میزان واسطه اول، حلقون های خاکزی از جمله هلی سلا و زبرینا و میزان واسطه دوم آن مورچه ها بهویژه فورمیکا فوسکا هستند<sup>(۲)</sup>. اندازه این کرم نسبت مستقیمی با اندازه جثه میزان نهایی دارد.

دیکروسلیوم انتشار جهانی دارد و در اروپا، آسیا و امریکای شمالی و جنوبی شایع تر است<sup>(۲,۱)</sup>. در ایران نیز آلدگی به این انگل در اکثر نقاطی که پرورش دام رایج است، دیده می شود<sup>(۳)</sup>. مطالعات نشان داده است که آلدگی به این کرم موجب زیان های اقتصادی فراوانی می شود، که از جمله می توان به افت کیفیت محصولات دام در اثر جایگزینی انگل در کبد، حذف کبد های آلوده، ضبط و حذف لاش های آلوده در اثر لاغری مفرط، مرگ و میر گوسفندها در آلدگی های بسیار شدید و هزینه های درمانی آن اشاره کرد<sup>(۴)</sup>. این کرم در گاو، بز و گوسفند جوان عالیم بالینی مشخصی ایجاد نمی کند، اما به علت این که به مدت طولانی در بدن زنده می ماند، به مرور زمان بر حدت و بیماری زایی آن افزوده می شود و در گوسفند های مسن باعث سیروز کبدی پیشرفته می شود. از عالیم بالینی آن می توان به لاغری مفرط، کاهش تولید پشم و شیر و کاهش رشد اشاره نمود. هم چنین استقرار این کرم باعث مستعد شدن گوسفند و بز به بیماری مهلک تورم قانقاریایی کبد می گردد<sup>(۵)</sup>. اختلالات کبدی در انسان، که معمولاً چهار عفونت خفیف می شود، چندان بارز نیست. علائم بیماری در انسان شامل اختلالات گوارشی، نفخ، استفراغ، کولیت صفراوي، یبوست مزمن یا اسهال بوده و مسمومیت با آن، خفیف تر از فاسیولیازیس است<sup>(۶-۸)</sup>. به همین دلایل دیکروسلیازیس از نظر اقتصادی و پزشکی حائز اهمیت است. اختلافات مرفولوژیکی بین گونه های دیکروسلیوم وجود دارد. بنابراین هدف از این مطالعه، بررسی مورفومتریک و مولکولی (PCR-RFLP و PCR) ایزو له های گوسفندی، بزی و گاوی دیکروسلیوم دندرتیکوم در استان مازندران در سال های ۱۳۹۲-۱۳۹۴ می باشد.

میزانهای استان مورد مطالعه می‌باشد. علاوه بر شاخص فوق، موقعیت بیشترین عرض بدن که در تمامی ایزوله‌ها پشت قسمت میانی بدن قرار گرفته بود نیز تفیریک‌کننده‌ی گونه‌ی دیکروسلیوم دندریتیکم از دیکروسلیوم هاسپس و دیکروسلیوم چاینتیس می‌باشد.

**جدول شماره ۱:** خصوصیات مرفلوژیکی دیکروسلیوم جدا شده از کبد گوستند در استان مازندران

				شاخص مرفلوژیک (μm)	
				(X±SE)	بیش ترین کم ترین سطح معنی داری
۱	۵۱۲۵	۱۰۵۲۵	۷۰۸۷۵±۱۶۵۶۹۵	طول بدن	
۰/۹۹۷	۳۰۰	۲۲۲۵	۱۶۴۵/۱۷±۴۶/۲۸۹	عرض بدن	
۰/۹۱۰	۱۶۰	۴۹۰	۳۴۲/۸۳۷/۳۰	قطر خارجی بادکش دهانی	
۰/۹۹۹	۱۰۰	۳۵۰	۱۷۷/۱۳۳±۵۲۹	قطر داخلی بادکش دهانی	
۱	۲۰۰	۶۱۰	۴۳۳/۱۷±۸۳۰۷	قطر خارجی بادکش شکمی	
۱	۱۲۰	۸۰۰	۲۳۵/۲۳۷±۱۱/۷۹۳	قطر داخلی بادکش شکمی	
۱	۵۲۰	۱۰۲۰	۷۶۰/۵۰±۱۵۲۰۷	طول پیشه	
۱	۲۵۰	۷۳۰	۵۰/۴۹۷±۱۳/۸۱۶	عرض پیشه	
۱	۱۲۵۰	۳۰۲۵	۱۸۷۶/۶۷±۴۷/۴۵۲	طول غدد زرد	
۱	۲۷۵	۸۵۵	۶۰۵۰/۱۰±۱۵۲۲۷	فاصله بین بادکش شکمی تانهای	
۱	۲۳۰	۹۰۰	۴۳۷/۵۰±۱۵/۷۸۶	طول سیروسک	
۱	۲۵۰	۵۰۰	۳۴۹/۰۰±۰/۹۶۵	طول تخمدان	
۱	۱۳۰	۳۵۰	۲۴۹/۱۷±۶/۱۷۲	عرض تخمدان	
۱	۹۵۰	۱۷۷۵	۱۳۷۸/۹۲±۲۷/۲۲۱	فاصله بین بادکش دهانی تا شکمی	
۰/۹۷۵	۳	۷	۴/۵۹±۰/۱۹۲	نسب طول به عرض	
۰/۷۸۸	۱	۱	۱/۱۳۰±۰/۱۶	نسب بادکش شکمی به دهانی	
۰/۹۷۲	۳	۶	۴/۱۷±۰/۰۸۲	نسب طول بدن به غدد زرد	

**جدول شماره ۲:** مقایسه خصوصیات مرفلوژیکی دیکروسلیوم جدا شده از کبد بزر در استان مازندران

				شاخص مرفلوژیک (μm)	
				(X±SE)	بیش ترین کم ترین سطح معنی داری
۱	۴۸۷۵	۸۲۷۵	۶۷۳۴/۱۷±۱۰/۰۸	طول بدن	
۱	۱۰۲۵	۲۰۷۵	۱۶۴۹/۱۷±۴۰/۱۰۷	عرض بدن	
۰/۹۹۹	۴۵۰	۴۰۰	۳۴۷/۲۳۳±۴/۲۹۱	قطر خارجی بادکش دهانی	
۰/۹۹۹	۱۲۰	۲۱۰	۱۵۸/۲۳۳±۴/۲۷۰	قطر داخلی بادکش دهانی	
۱	۳۵۰	۴۸۰	۴۲۵/۰۵±۳/۷۶۱	قطر خارجی بادکش شکمی	
۰/۹۹۹	۱۶۰	۲۷۰	۲۱۱/۶۷±۴/۳۷۴	قطر داخلی بادکش شکمی	
۱	۳۸۰	۱۰۰۰	۷۴۶/۶۷±۰/۲۹۸	طول پیشه	
۱	۲۱۰	۷۰۰	۶۶۳/۳۳±۱۶/۱۹۰	عرض پیشه	
۱	۱۲۲۵	۲۳۲۵	۱۷۸۸/۳۳±۲۷/۵۸۲	طول غدد زرد	
۱	۳۷۵۰	۶۶۵۰	۵۳۴/۶۷±۹/۰/۱۸۳	فاصله بین بادکش شکمی تا انتهای	
۱	۳۳۰	۶۶۰	۴۹۲/۰۰±۱۱/۴۴۶	طول سیروسک	
۱	۱۸۰	۴۵۰	۳۴۸/۳۳±۸/۳۵۷	طول تخمدان	
۰/۹۹۹	۱۵۰	۳۳۰	۲۴۵/۰۰±۶/۷۷۷	عرض تخمدان	
۱	۷۸۵	۱۶۲۵	۱۲۵۸/۳۳±۸/۹۱۰	فاصله بین بادکش دهانی تا شکمی	
۰/۹۹۹	۳	۶	۴/۲۱±۰/۱۰۳	نسب طول به عرض	
۰/۷۶۲	۱	۱	۱/۱۳۰±۰/۱۲	نسب بادکش شکمی به دهانی	
۰/۹۸۲	۲	۵	۳/۸۸±۰/۰۷۶	نسب طول بدن به غدد زرد	

تکثیر شد. مراحل PCR شامل مرحله واسرت ۹۵ °C به مدت ۱ دقیقه، مرحله اتصال پرایمرها ۵۵ °C به مدت ۴۵ ثانیه، مرحله طویل شدن زنجیره ۷۲ °C به مدت ۴۵ ثانیه، که این ۳ مرحله به تعداد ۳۰ سیکل و در نهایت یک سیکل ۱۰ دقیقه در ۷۲ °C انجام شد. ۱۱ μl محصول PCR داخل چاهک‌های ژل آگارز ۱/۵ درصد در کنار مارکر وزنی 100 bp (Fermentas) بارگذاری و در ولتاژ ۹۰ به مدت ۳۰ دقیقه الکتروفورز گردید. در نهایت ۳ نمونه جهت سکانس به شرکت تکاپوزیست ارسال گردید.

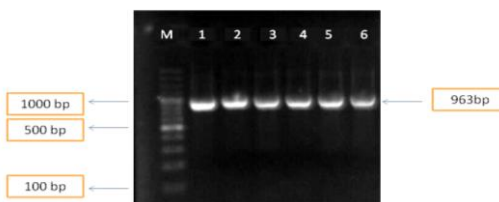
### انجام واکنش RFLP-PCR

برای انجام واکنش PCR-RFLP، مخلوطی به حجم نهایی ۱۱ μl شامل ۱۰ μl محصول PCR انگل دیکروسلیوم، ۲ μl بافر، ۱ μl آنزیم TruII و ۱۷ μl آب مقطر تریکی تهیه شده و به مدت ۴۰ دقیقه در حمام آب گرم ۶۵ °C قرارداده شد. سپس ۱۱ μl از هر محصول PCR-RFLP داخل چاهک‌های ژل آگارز ۳ درصد در کنار مارکروزنی ۱۰۰ bp بارگذاری و در ولتاژ ۷۰ به مدت ۲۰ دقیقه الکتروفورز گردید.

### یافته‌ها

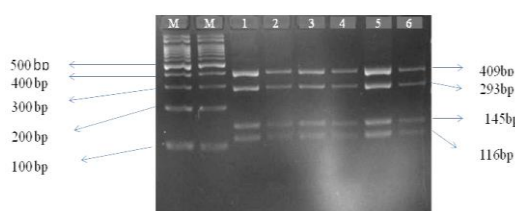
**الف- بررسی مرفلوژی:** در این مطالعه در مجموع ۵۰ ایزوله‌ی گاوی (۱۰)، گوستندی (۲۰) و بزی (۲۰) دیکروسلیوم از کبد دام‌های کشتار شده استان مازندران برای شناسائی ۱۷ پارامتر مورفومنیریک بر حسب میکرون اندازه‌گیری و ثبت شدن. مقایسه پارامترهای مورفومنیریکی در هر میزان، اختلاف معنادار مشاهده نشد (جدول شماره ۱، ۲ و ۳)، در صورتی که در مقایسه این پارامترها در بین میزانان، اختلاف معنادار به غیر از اندازه طول بیضه‌ها مشاهده شد (جدول شماره ۴). در مشاهده میکروسکوپی، موقعیت بیضه‌ها که شاخص قابل اعتمادی برای تشخیص افتراقی گونه‌های دیکروسلیوم می‌باشد، نشان داد که در تمامی ایزوله‌ها، بیضه‌ها پشت سر هم قرار دارد، این امر تأیید کننده‌ی گونه‌ی دندریتیکم در

ثبت شد. مقایسه توالی ها با موارد ثبت شده در بانک ژن، تشابه ۹۹ درصد را نشان دادند.



تصویر شماره ۱: محصول PCR دیکروسلیوم از ایزوله های گاو، بز و گوسفتند ستون مار کر ۱۰۰ bp، ستون ۱ و ۲ ایزو له گوسفتندی، ۳ و ۴ ایزو له گاوی، ۵ و ۶ ایزو له بزی

علاوه بر این، برای تشخیص گونه از تکنیک RFLP نشان دهنده ۴ محل برش و تشکیل باندهای ۱۱۶ bp، ۱۴۵ bp، ۲۹۳ bp و ۴۰۹ bp (تصویر شماره ۲). آنزیم FastDigest Tru1II به طور اختصاصی دیکروسلیوم دندرتیکوم را از گونه های مشابه آن شامل دیکروسلیوم ها سپس و دیکروسلیوم چاینتیسیس تشکیک نمود. در این مطالعه، سایر گونه های دیکروسلیوم یافت نشدند.



تصویر شماره ۲: الگوی PCR-RFLP ایزو له های گوسفتند، گاو و بز دیکروسلیوم دندرتیکوم با استفاده از آنزیم Fast Digest Tru1II ستون M مار کر ۱۰۰ bp، ستون ۱ و ۲: ایزو له گوسفتندی، ۳ و ۴: ایزو له گاوی، ۵ و ۶: ایزو له بزی

## بحث

انگل دیکروسلیوم دندرتیکوم تقریباً در تمام مناطق جهان انتشار دارد و کمتر جایی در دنیا یافت می شود که عاری از این ترماتود باشد. تسع فتویی و ژنتیکی

جدول شماره ۳: مقایسه خصوصیات مورفولوژیکی دیکروسلیوم جدا شده از کبد گاو در استان مازندران

	شاخص مورفولوژیک (μm)	گار (X±SE)	کمترین سطح معنی داری
طول بدن	۷۴۰	۱۰۵۲۵	۹۳۷/۰.۰±۱۸۳/۲۵۹
عرض بدن	۱۶۰۰	۲۲۲۵	۱۹۳۵/۰.۰±۴۰/۵۰۰
قطر خارجی بادکش دهانی	۴۲۰	۴۶۰	۴۴۱/۳۳±۲۳۳۶
قطر داخلی بادکش دهانی	۳۴۰	۴۵۰	۳۹۲/۶۷±۵/۴۴۴
قطر خارجی بادکش شکمی	۴۶۰	۴۹۰	۴۷۰/۰.۰±۲/۰۳۴
قطر داخلی بادکش شکمی	۳۶۰	۴۶۰	۴۱۸/۶۷±۵/۴۶۱
طول پیشه	۶۳۰	۸۸۰	۷۶۸/۶۷±۱۵/۰۹۹
عرض پیشه	۶۰۰	۸۵۰	۷۰۱/۳۳±۱۳/۸۱۱
طول غدد زرد	۱۶۲۵	۳۲۰۰	۲۳۵۸/۳۳±۹۶/۱۷
فاصله بین بادکش شکمی تا انها	۵۷۷۵	۸۶۲۵	۷۵۷۳/۳۳±۱۶۰/۸۹۳
طول سریوساک	۳۱۰	۳۸۰	۳۵۶/۰.۰±۳/۵۷۵
طول تخدمان	۴۳۰	۴۶۰	۴۴۰/۶۷±۱/۵۷۵
عرض تخدمان	۳۶۰	۴۲۰	۲۹۵/۳۳±۴/۰۰۴
فاصله بین بادکش دهانی تا شکمی	۱۵۰۰	۲۰۷۵	۱۷۶۹/۳۳±۳۷/۱۵۷
نسبت طول به عرض	۴	۵	۴/۸۳±۰/۰۷۱
نسب بادکش شکمی به دهانی	۱	۱	۱/۰۹±۰/۰۱۸
نسب طول بدن به غدد زرد	۳	۵	۴/۱۰±۰/۱۱۶

جدول شماره ۴: مقایسه شاخص های مرفومتریک دیکروسلیوم دندتیکوم جدا شده از کبد گوسفتند، بز و گاو در استان مازندران

	شاخص مورفولوژیک (μm)	گار (X±SE)	کمترین سطح معنی داری
طول بدن	۴۳۷/۰.۰±۱۸۳/۲۵۹	۲۷۴۲/۰.۰±۱۷۱/۰۰۸	۷۷۸/۰.۰±۱۶۵/۶۹۵
عرض بدن	۱۹۳۵/۰.۰±۴۰/۵۰۰	۱۶۹۴/۰.۰±۳۰/۱۰۷	۱۶۴۵/۰.۰±۴۶/۲۸۹
قطر خارجی بادکش دهانی	۴۲۱/۳۳±۲۳۳۶	۳۴۲/۰.۰±۲۷/۳۳۰	۳۴۲/۰.۰±۲۴۲/۲۹۱
قطر داخلی بادکش دهانی	۳۹۲/۶۷±۵/۴۴۴	۱۵۸/۰.۰±۲۶/۷۶۰	۱۷۷/۰.۰±۳۵/۰۲۹
قطر خارجی بادکش شکمی	۴۰۷/۰.۰±۲/۰۳۴	۲۴۵/۰.۰±۳۷/۶۷۱	۴۳۳/۰.۰±۸۳۰/۷
قطر داخلی بادکش شکمی	۴۱۸/۰.۰±۵/۴۶۱	۲۱۱/۰.۰±۳۷/۷۹۴	۲۲۵/۰.۰±۱۱/۷۹۳
طول پیشه	۷۶۸/۰.۰±۱۵/۰۹۹	۷۴۶/۰.۰±۲۰/۳۶۸	۷۶۰/۰.۰±۱۵/۰۷
عرض پیشه	۷۰۱/۰.۰±۱۳/۱۱۱	۴۶۳/۰.۰±۱۶/۳۹۰	۵۴/۰.۰±۱۳/۰۳۶
طول غدد زرد	۲۳۵۸/۰.۰±۹۶/۱۷	۱۷۶۸/۰.۰±۷۴/۴۵۲	۱۷۶/۰.۰±۷۴/۰۲
فاصله بین بادکش شکمی تا انها	۷۵۷۳/۰.۰±۱۶/۰۹۳	۵۴۳/۰.۰±۹۰/۰۱۳	۶۰۵/۰.۰±۱۱/۱۲۷
طول سریوساک	۳۵۶/۰.۰±۳/۵۷۵	۴۹۷/۰.۰±۱۱/۴۴۶	۴۳۷/۰.۰±۱۵/۷۸۶
طول تخدمان	۴۴۰/۰.۰±۱۵/۰۸۵	۳۴۹/۰.۰±۶/۹۶۵	۳۴۹/۰.۰±۶/۹۶۵
عرض تخدمان	۳۴۵/۰.۰±۶/۰۴۷	۲۴۵/۰.۰±۶/۰۷۷	۲۴۹/۰.۰±۶/۱۷۲
فاصله بین بادکش شکمی تا دهانی	۱۷۶۸/۰.۰±۳۷/۱۵۷	۱۲۵۸/۰.۰±۱۸/۹۱۰	۱۳۸/۰.۰±۷/۲۲۱
نسب طول به عرض	۴/۸۳±۰/۰۷۱	۴/۲۱±۰/۰۱۳	۴/۵۹±۰/۰۹۲
نسب بادکش شکمی به دهانی	۱/۰۹±۰/۰۱۸	۱/۱۲±۰/۰۱۶	۱/۱۳±۰/۰۱۶
نسب طول بدن به غدد زرد	۴/۱۰±۰/۰۱۶	۳/۸۸±۰/۰۷۶	۴/۱۷±۰/۰۸۲

ب- مطالعه مولکولی: الکتروفورز تمام ایزو له ها پس از PCR، باند pb ۹۶۳ را نشان دادند (تصویر شماره ۱). برای تایید گونه انگل از محصول بدست آمده از PCR تعیین توالی گردید و سپس در بانک جهانی ژن با شماره های MF952875, MF946552 MF946561 نسبت طول بدن به غدد زرد

$1/30\text{--}1/80\mu\text{m}$  گزارش کردند<sup>(11)</sup>. در مطالعه دیگر، اربابی و همکاران، طول انگل را در همین میزان  $1/51\text{--}1/57\mu\text{m}$  و عرض بدن را  $6/38\pm1/56\mu\text{m}$  و عرض بدن  $6/38\pm1/56\mu\text{m}$  نمودند<sup>(9)</sup>. این در حالی است که در مطالعه‌ی گرجی‌بور و همکاران، طول بدن  $6/38\pm1/56\mu\text{m}$  و عرض بدن  $1/70\pm0/39\mu\text{m}$  گزارش شده است<sup>(10)</sup>، ولی هیچ گونه اشاره‌ای به کمترین و بیشترین اندازه طول و عرض بدن انگل در میزان‌های مورد مطالعه نشده است.

هم‌چنین، بر اساس یافته‌های پژوهش حاضر، اختلاف معنی‌داری بین اندازه‌ی شاخص‌های مورفومتریک در استان مازندران مشاهده می‌شود و این یافته‌ها با یافته‌های به دست آمده از مطالعه‌ی اربابی و همکاران همخوانی داشته است<sup>(9)</sup>. این در حالی است که در مطالعات بررسی شده در کشورهای ایتالیا، اتریش و آلمان و هم‌چنین در شیراز (ایران)، اختلافات معناداری بین شاخص‌های مورفومتریک دیکروسلیوم دندرتیکوم در بین میزان‌انگل در مناطق مورد مطالعه‌ی خود گزارش نکردند<sup>(11,10)</sup>. احتمالاً این اختلاف ناشی از سن، وضعیت تغذیه‌ای میزان، وضعیت بلوغ کرم، شدت آلودگی، شرایط اقلیمی و اکولوژیکی مناطق مورد مطالعه می‌باشد<sup>(13)</sup>.

بررسی مولکولی به خصوص در  $\varnothing 28\text{s rDNA}$  نشان داد که تفاوت ژنتیکی در میان ایزوله‌های دیکروسلیوم دندرتیکوم موجود در ایران وجود ندارد. این در حالی است که آنالیز نتایج حاصل از مورفومتری شاخص‌های نامبرده به غیر از طول بیضه دارای اختلاف معناداری در بین ایزوله‌ها نشان داد. مطالعات اخیر مولکولی انگل بر اساس زیرواحد کوچک ریبوزومی (ناحیه‌ی  $18\text{s rDNA}$ ) و زیرواحد بزرگ  $\varnothing 7\text{ rDNA}$  ریبوزومی ( $28\text{s rDNA}$ ) موفق به نشان دادن تفاوت‌های ژنتیکی میان ایزوله‌های این انگل نشده است، به نظر می‌رسد این امر به دلیل بالا بودن سطح حفاظت شده‌ی این نواحی از انگل باشد<sup>(11,10)</sup>. Maurelli و همکاران<sup>(2007)</sup> و هم‌چنین اربابی و همکاران<sup>(2012)</sup>، تنوع ژنتیکی

(عمدتاً مناطق DNA ریبوزومی) این انگل قبل از کشورهای مختلف از جمله ایران گزارش شده است<sup>(9,2)</sup>. به رغم شیوع فراوان دیکروسلیازیس در ایران  $1/3\text{--}1/31$  و  $1/2$  درصد به ترتیب در بین گوسفتند، بز و گاو<sup>(3)</sup>، در زمینه‌ی شناخت مرفلوژیک و مولکولی عامل این بیماری تحقیقات کمی صورت گرفته و مطالعات عمدتاً در زمینه‌ی موارد شیوع، روش‌های تشخیصی سرولوژیک و بررسی‌های ریخت‌شناسی انگل بوده است. با استفاده از سه روش مورفومتریک، PCR و RFLP مشخص شد که از بین ۳ گونه‌ی جنس دیکروسلیوم، تنها دیکروسلیوم دندرتیکوم باعث آlundگی گوسفتند، بز و گاو شمال ایران می‌شود.

یکی از شاخص‌های مورفومتریک قابل اعتماد برای تشخیص افتراقی گونه‌های دیکروسلیوم، موقعیت بیضه‌ها می‌باشد. در دیکروسلیوم دندرتیکوم دو بیضه به صورت پشت سرهم (tandem) قرار دارد، در حالی که در دیکروسلیوم چاینسیس به صورت دو طرفه (bilatera) قرار دارد<sup>(10,9)</sup>. با توجه به یافته‌های مطالعه حاضر، بیضه‌ها در تمامی ایزوله‌های جمع آوری شده از استان مازندران، در موقعیت پشت سر هم قرار داشتند و با نتایج مطالعات گرجی‌بور و اربابی همخوانی دارد<sup>(10,9)</sup>. در مطالعه‌ای Otranto و همکاران، دو گونه دندرتیکوم و چاینسیس را بر اساس موقعیت بیضه‌ها در گوسفتند‌های اتریشی، آلمانی و ایتالیایی تشخیص دادند<sup>(11)</sup>. علاوه بر این، Taira و همکاران با استفاده از شاخص نامبرده، دیکروسلیوم چاینسیس را تنها گونه‌ی آlundده کننده‌ی آهوی Sika در ژاپن تشخیص دادند<sup>(12)</sup>.

بر اساس مطالعه حاضر، طول بدن کرم در بین ایزوله‌های گوسفتندی، بزی و گاوی به ترتیب  $(7/40\text{--}10/52\mu\text{m})$ ،  $(8/27\text{--}4/87\mu\text{m})$ ،  $(10/52\text{--}5/12\mu\text{m})$  و عرض آن نیز به ترتیب  $(2/22\text{--}0/9\mu\text{m})$ ،  $(2/07\text{--}1/02\mu\text{m})$ ، و  $(2/22\text{--}1/60\mu\text{m})$  متغیر گزارش شد. در مطالعه‌ای Otranto و همکاران، طول انگل را در گوسفتند  $\mu\text{m}$   $5/60\text{--}4/70$  و عرض آن را

رو با توجه به زیان‌های اقتصادی که این انگل بر اقتصاد کشور تحمیل می‌کند، کنترل و پیشگیری از آن کاملاً ضروری می‌باشد.

## سپاسگزاری

این مطالعه بخشی از پایان نامه دوره ارشد رشته انگل شناسی پزشکی می‌باشد که هزینه آن طی طرح شماره ۱۳۶۷ مصوب تامین شده است. بنابراین نویسنده‌گان، از معاونت محترم پژوهشی و کمیته تحقیقات دانشجویی دانشگاه علوم پزشکی مازندران کمال تشکر و قدردانی را دارند.

دیکروسلیوم دندرتیکوم را با تکنیک PCR مورد بررسی قرار دادند و هیچ اختلافی بین ۲۸s rDNA و ۲۸s تمامی دیکروسلیوم‌های جدا شده از گوسفند مشاهده نکردند(۱۴،۹). در مطالعه‌ای Otranto و همکاران، با وجود اختلاف درون گونه‌ای دیکروسلیوم (۱/۳ درصد)، با استفاده از ناحیه حفاظت شده ۲۸s، هیچ ارتباطی بین میزبان و مناطق جغرافیایی گزارش نکردند(۱۱). در نتیجه، مطالعه‌ی حاضر به روشنی نشان داد که تنها گونه‌ی دیکروسلیومی که باعث دیکروسلیازیس در گوسفند، بز و گاو در استان مازندران می‌شود، دیکروسلیوم دندرتیکوم است. از این

## References

1. Otranto D, Traversa D. Dicrocoeliosis of ruminants: a little known fluke disease. Trends Parasitol 2003; 19(1): 12-15.
2. Manga-González M, González-Lanza C, Cabanas E, Campo R. Contributions to and review of dicrocoeliosis, with special reference to the intermediate hosts of *Dicrocoelium dendriticum*. Parasitology 2001; 123(7): 91-114.
3. Bari S, Sarvi S, Daryani A, Ziaeef Hezarjaribi H, Arbab M, Pirestani M, et al. *Dicrocoelium dendriticum* infection among domestic animals in Iran: A systematic review and meta-analysis. J Mazandaran Uni Med Sci 2016; 25(132): 367-375 (Persian).
4. Manga-González M, Quiroz-Romero H, Gonzalez-Lanza C, Minambres B, Ochoa P. Strategic control of *Dicrocoelium dendriticum* (Digenea) egg excretion by naturally infected sheep. Vet Med 2010; 55(1): 19-29.
5. Manga-González M, Ferreras M, Campo R, González-Lanza C, Perez V, García-Marín J. Hepatic marker enzymes, biochemical parameters and pathological effects in lambs experimentally infected with *Dicrocoelium dendriticum* (Digenea). Parasitol Res 2004; 93(5): 344-355.
6. Fauci AS. Harrison's principles of internal medicine. New York: McGraw-Hill; 2008.
7. Helmy M, Al-Mathal E. Human infection with *Dicrocoelium dendriticum* in Riyadh district (Saudi Arabia). J Egypt Soc Parasitol 2003; 33(1): 139-144.
8. Magi B, Frati E, Bernini L, Sansoni A, Zanelli G. *Dicrocoelium dendriticum*: a true infection. Infez Med 2009; 17(2): 115-116.
9. Arbab M, Dalimi-Asl A, Ghaffarifar F, Fooorozandeh-Moghadam M. Morphological and molecular characterization of *Dicrocoelium* isolated from sheep in the north and center of Iran. Feyz J Kashan Uni Med Sci 2012; 16(2): 135-145 (Persian).
10. Gorjipoor S, Moazeni M, Sharifiyazdi H. Characterization of *Dicrocoelium dendriticum* haplotypes from sheep and cattle in Iran based on the internal transcribed spacer 2 (ITS-2) and NADH dehydrogenase gene (nad1). J Helminthol 2015; 89(2): 158-164.

11. Otranto D, Rehbein S, Weigl S, Cantacessi C, Parisi A, Lia RP, et al. Morphological and molecular differentiation between *Dicrocoelium dendriticum* (Rudolphi, 1819) and *Dicrocoelium chinensis* (Sudarikov and Ryjikov, 1951) Tang and Tang, 1978 (Platyhelminthes: Digenea). *Acta Trop* 2007; 104(2): 91-98.
12. Taira K, Shirasaka S, Taira N, Ando Y, Adachi Y. Morphometry on lancet flukes found in Japanese sika deer (*Cervus nippon centralis*) captured in Iwate Prefecture, Japan. *J Vet Med Sci* 2006; 68(4): 375-377.
13. Tkach V, Pawlowski J, Mariaux J. Phylogenetic analysis of the suborder Plagiorchiata (Platyhelminthes, Digenea) based on partial 1srDNA sequences1. *Int J Parasitol* 2000; 30(1): 83-93.
14. Maurelli M, Rinaldi L, Capuano F, Perugini A, Veneziano V, Cringoli G. Characterization of the 28S and the second internal transcribed spacer of ribosomal DNA of *Dicrocoelium dendriticum* and *Dicrocoelium hospes*. *Parasitol Res* 2007; 101(5): 1251-1255.